



دانشگاه صنعتی شریف
دانشکده‌ی مهندسی هوافضا

پروژه کارشناسی
مهندسی کنترل

عنوان:

کنترل وضعیت سه درجه آزادی استند چهارپره به روش کنترل‌کننده مربعی خطی مبتنی بر بازی دیفرانسیلی

نگارش:

علی بنی اسد

استاد راهنما:

دکتر نوبهاری

شهریور ۱۴۰۰

سلام الغفران

سپاس

از استاد بزرگوارم جناب آقای دکتر نوبهاری که با کمک‌ها و راهنمایی‌های بی‌دریغشان، بنده را در انجام این پروژه یاری داده‌اند، تشکر و قدردانی می‌کنم.

چکیده

در این پژوهش از یک روش مبتنی بر تئوری بازی^۱ استفاده شده است. در این روش سیستم و اغتشاش دو بازیکن اصلی در نظر گرفته شده است. هر یک از دو بازیکن سعی می‌کنند امتیاز خود را با کمترین هزینه افزایش دهند که در اینجا، وضعیت استند امتیاز بازیکن‌ها در نظر گرفته شده است. در این روش انتخاب حرکت با استفاده از تعادل نش^۲ که هدف آن کم کردن تابع هزینه با فرض بدترین حرکت دیگر بازیکن است، انجام می‌شود. این روش نسبت به اغتشاش ورودی مقاوم است. همچنین نسبت به عدم قطعیت مدلسازی مقاومت مناسبی دارد. از روش ارائه شده برای کنترل یک استند سه درجه آزادی چهارپره که به نوعی یک آونگ معکوس نیز هست، استفاده شده است. برای ارزیابی عملکرد این روش ابتدا شبیه‌سازی‌هایی در محیط سیمولینک انجام شده است و سپس، با پیاده‌سازی آن صحت عملکرد آن تایید شده است.

کلیدواژه‌ها: چهارپره، بازی دیفرانسیلی، تئوری بازی، تعادل نش، استند سه درجه آزادی، مدل مبنا، تنظیم‌کننده مربعی خطی

¹Game Theory

²Nash Equilibrium

فهرست مطالب

۲	۱ مقدمه
۲	۱-۱ تاریخچه
۳	۲-۱ تعریف مسئله
۴	۱-۲-۱ ساختار چهارپره
۵	۳-۱ نظریه بازی
۵	۱-۳-۱ تاریخچه نظریه بازی
۵	۲-۳-۱ تعادل نش
۶	۲ بازی دیفرانسیلی
۶	۱-۲ مقدمه‌ای بر بازی دیفرانسیلی
۸	۲-۲ کنترل‌کننده مبتنی بر بازی دیفرانسیلی
۸	۳-۲ کنترل‌کننده مربعی خطی مبتنی بر بازی دیفرانسیلی
۹	۴-۲ کنترل‌کننده مربعی خطی انتگرالی مبتنی بر بازی دیفرانسیلی
۱۱	۳ مدل‌سازی چهارپره
۱۱	۱-۳ فرضیات مدل‌سازی
۱۲	۲-۳ معادله گشتاور

۱۳	۱-۲-۳ گشتاورهای ناشی از آیرودینامیک پره‌ها
۱۴	۲-۲-۳ گشتاور ناشی از نیروی تکیه‌گاه
۱۶	۳-۳ گشتاورهای ناشی از اصطکاک بیرینگ‌ها
۱۷	۴-۳ گشتاورهای ناشی از جرم استند
۱۷	۱-۴-۳ استخراج معادله نهایی دینامیک دورانی
۱۹	۵-۳ استخراج فرم فضای حالت
۲۱	۶-۳ خطی‌سازی
۲۲	۱-۶-۳ فرم خطی فضای حالت چهارپره
۲۴	۲-۶-۳ فرم خطی فضای حالت کانال‌های چهارپره

فهرست شکل‌ها

- ۱-۱ استند کنترل وضعیت سه درجه آزادی چهارپره [۴] ۳
- ۲-۱ جهت چرخش پره‌های چهارپره [۵] ۴
- ۱-۳ شماتیک استند چهارپره ۱۲

فهرست جدول‌ها

۱-۳	پارامترهای شبیه‌سازی استند چهارپره [۱۴]	۲۱
-----	---	----

فصل ۱

مقدمه

چهارپره یا کوادکوپتر^۱ یکی از انواع وسایل پرنده است. چهارپره‌ها نوعی هواگرد بالگردان هستند و در دسته‌ی چندپره‌ها جای دارند. چهارپره‌ها به دلیل داشتن توانایی مانور خوب و امکان پرواز ایستا با تعادل بالا از کاربردهای بسیار گسترده‌ای دارند. در سال‌های اخیر توجه شرکت‌ها، دانشگاه‌ها و مراکز تحقیقاتی بیش از پیش به این نوع از پهپادها جلب شده است. بنابراین، روزانه پیشرفت چشمگیری در امکانات و پرواز این نوع از پرنده‌ها مشاهده می‌کنیم. چهارپره‌ها در زمینه‌های تحقیقاتی، نظامی، تصویربرداری، تفریحی و کشاورزی از کاربرد زیاد و روزافزونی دارند و مدل‌های دارای سرنشین آن نیز تولید شده است.

۱-۱ تاریخچه

مدل اولیه آزمایشی یک چندپره در سال ۱۹۰۷ توسط دو برادر فرانسوی بنام Jacques و Louis Breguet ساخته شد. پرنده آن‌ها موفق به پرواز به صورت عمودی شد؛ ولی تنها تا ارتفاع دو فوتی پرواز کرد. پرواز انجام شده یک پرواز آزاد^۲ نبود و پرنده به کمک چهار مرد ثابت نگه‌داشته شده بود [۱]. بعد از آن ساخت بالگرد چهار پروانه‌ای به سال ۱۹۲۰ میلادی برمی‌گردد. در آن سال یک مهندس فرانسوی به نام Étienne Oehmichen اولین بالگرد چهارپره را اختراع کرد و مسافت ۳۶۰ متر را با چهارپره خود پرواز کرد. در همان سال او مسافت یک کیلومتر را در مدت هفت دقیقه و چهل ثانیه پرواز کرد [۲].

^۱Quadcopter

^۲Free Flight

در سال ۱۹۲۲ در آمریکا George de Bothezata موفق به ساخت و تست تعدادی چهارپره برای ارتش شد که قابلیت کنترل و حرکت در سه بعد را داشت، ولی پرواز با آن بسیار سخت بود. در سال‌های اخیر توجه مراکز دانشگاهی به طراحی و ساخت پهپادهای چهارپره جلب شده است و مدل‌های مختلفی در دانشگاه استنفورد و کورنل ساخته شده است و به تدریج رواج یافته است [۳]. از حدود سال ۲۰۰۶ کواد کوپترها شروع به رشد صنعتی به صورت وسایل پرنده بدون سرنشین نمودند.

۲-۱ تعریف مسئله

مسئله‌ای که در این پروژه بررسی می‌شود، کنترل وضعیت سه درجه آزادی استند آزمایشگاهی چهارپره با استفاده از روش کنترل خطی مربعی مبتنی بر بازی دیفرانسیلی است. این استند آزمایشگاهی (شکل ۲-۱) شامل یک چهارپره است که از مرکز توسط یک اتصال به یک پایه وصل شده است. در این صورت، تنها وضعیت چهارپره (زوایای رول^۳، پیچ^۴ و یاو^۵) تغییر کرده و فاقد حرکت انتقالی است. همچنین، می‌توان با مقید کردن چرخش حول هر محور، حرکات رول، پیچ و یاو پرنده را به صورت مجزا و یا با یکدیگر بررسی کرد.



شکل ۱-۱: استند کنترل وضعیت سه درجه آزادی چهارپره [۴]

³Roll

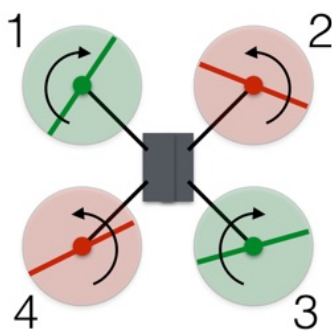
⁴Pitch

⁵Yaw

با توجه به شکل، مرکز جرم این استند بالاتر از مفصل قرار دارد که می‌توان آن را به صورت آونگ معکوس در نظر گرفت. بنابراین، سامانه به صورت حلقه‌باز ناپایدار است. این سامانه دارای چهار ورودی مستقل (سرعت چرخش پره‌ها) و سه خروجی زوایای اوایلر (ψ, θ, ϕ) است. در مدل‌سازی این استند عدم قطعیت وجود دارد؛ اما، با توجه به کنترل‌کننده مورد استفاده می‌توان این عدم قطعیت را به صورت اغتشاش در نظر گرفت و سامانه را به خوبی کنترل کرد.

۱-۲-۱ ساختار چهارپره

چهارپره‌ها با بهره‌گیری از چهار موتور و پره مجزا و چرخش دو به دو معکوس این موتورها گشتاورهای عکس‌العملی یکدیگر را خنثی می‌کنند و همچنین اختلاف فشار لازم جهت ایجاد نیروی برآ را تأمین می‌کنند.



شکل ۱-۲: جهت چرخش پره‌های چهارپره [۵]

نحوه ایجاد فرامین کنترلی در چهارپره‌ها به این صورت است که برای تغییر ارتفاع از کم یا زیاد کردن سرعت چرخش موتورها استفاده می‌شود و باعث کمتر یا زیادتر شدن نیروی برآ می‌شود. برای چرخش چهارپره به دور خود و به صورت درجا، دو پره هم جهت با سرعت کمتر و دو پره هم جهت دیگر با سرعت بیشتر می‌چرخند و گشتاور یاو ایجاد می‌شود و نیروی برآ ثابت می‌ماند؛ بنابراین، چهارپره در ارتفاع ثابت به دور خود می‌چرخد. همچنین، با کم و زیاد کردن دو به دو سرعت موتورهای مجاور چهارپره از حالت افقی خارج شده و در صفحه افق حرکت می‌کند.

۳-۱ نظریه بازی

نظریه بازی با استفاده از مدل‌های ریاضی به تحلیل روش‌های همکاری یا رقابت موجودات منطقی و هوشمند می‌پردازد. نظریه بازی، شاخه‌ای از ریاضیات کاربردی است که در علوم اجتماعی و به ویژه در اقتصاد، زیست‌شناسی، مهندسی، علوم سیاسی، روابط بین‌الملل، علوم رایانه، بازاریابی و فلسفه مورد استفاده قرار می‌گیرد. نظریه بازی در تلاش است تا به وسیله‌ی ریاضیات، رفتار را در شرایط راهبردی یا در یک بازی که در آن موفقیت فرد در انتخاب کردن، وابسته به انتخاب دیگران می‌باشد، برآورد کند.

۱-۳-۱ تاریخچه نظریه بازی

در سال ۱۹۹۴ جان فوربز نش به همراه جان هارسانی و راینهارد سیلتن به خاطر مطالعات خلاقانه‌ی خود در زمینه‌ی نظریه بازی، برنده‌ی جایزه نوبل اقتصاد شدند. در سال‌های پس از آن نیز بسیاری از برندگان جایزه‌ی نوبل اقتصاد از میان متخصصین نظریه بازی انتخاب شدند. آخرین آن‌ها، ژان تیرول فرانسوی است که در سال ۲۰۱۴ این جایزه را کسب کرد [۶].

۲-۳-۱ تعادل نش

پژوهش‌ها در این زمینه اغلب بر مجموعه‌ای از راهبردهای شناخته شده به عنوان تعادل در بازی‌ها استوار است. این راهبردها به طور معمول از قواعد عقلانی به نتیجه می‌رسند. مشهورترین تعادل‌ها، تعادل نش است. تعادل نش در بازی‌هایی کاربرد دارد در آن فرض شده است که هر بازیکن به راهبرد تعادل دیگر بازیکنان آگاه است. بر اساس نظریه‌ی تعادل نش، در یک بازی که هر بازیکن امکان انتخاب‌های گوناگون دارد اگر بازیکنان به روش منطقی راهبردهای خود را انتخاب کنند و به دنبال حداکثر سود در بازی باشند، دست کم یک راهبرد برای به دست آوردن بهترین نتیجه برای هر بازیکن وجود دارد و چنانچه بازیکن راهکار دیگری را انتخاب کند، نتیجه‌ی بهتری به دست نخواهد آورد.

فصل ۲

بازی دیفرانسیلی

در تئوری بازی‌ها، بازی‌های دیفرانسیل مجموعه‌ای از مسائل مربوط به مدل‌سازی و تحلیل در چارچوب یک سامانه دینامیکی هستند. ویژگی بازی‌های دیفرانسیلی این است که در آن‌ها رفتار متغیرهای حالت با یک معادله دیفرانسیل بیان می‌شود [۷]. در بخش ۱-۲ به بررسی کوتاه بازی دیفرانسیلی پرداخته می‌شود. در بخش ۲-۴ کنترل‌کننده مربعی خطی مبتنی بر بازی دیفرانسیلی^۱ و در بخش ۲-۴ به معرفی کنترل‌کننده مربعی خطی انتگرالی مبتنی بر بازی دیفرانسیلی^۲ پرداخته می‌شود.

۱-۲ مقدمه‌ای بر بازی دیفرانسیلی

این پروژه حالت دو بازیکن را بررسی می‌کند. در این مسئله برای یک سامانه خطی پیوسته با معالات حالت:

$$\begin{aligned}\dot{x}(t) &= Ax(t) + B_1 u_1(t) + B_2 u_2(t) \\ y(t) &= Cx(t) + D_1 u_1(t) + D_2 u_2(t)\end{aligned}\tag{۱-۲}$$

که در رابطه (۱-۲) x ، y ، u_1 و u_2 به ترتیب بیانگر بردار حالت، بردار خروجی، بردار ورودی بازیکن اول و بردار ورودی بازیکن دوم هستند. همچنین، A ، B_1 ، B_2 ، C ، D_1 و D_2 به ترتیب بیانگر ماتریس حالت، ماتریس ورودی بازیکن اول، ماتریس ورودی بازیکن دوم، ماتریس خروجی، ماتریس فیدفوروارد بازیکن اول و ماتریس فیدفوروارد بازیکن دوم هستند [۸]. بر اساس رابطه (۱-۲) دینامیک سامانه تحت تاثیر هر

¹Linear Quadratic Regulator Based on the Differential Game Theory (LQDG)

²Linear Quadratic Integral Regulator Based on the Differential Game Theory (LQDG)

دو بازیکن قرار می‌گیرد. در اینجا ممکن است تلاش بازیکن اول موجب دور شدن بازیکن دوم از هدف شود و یا برعکس. این پروژه حالت همکاری دو بازیکن را بررسی نمی‌کند و دو بازیکن در تلاش برای کم کردن تابع هزینه خود و زیاد کردن تابع هزینه بازیکن مقابل هستند.

فرض شده که تابع هزینه برای هر بازیکن در زمان $t \in [0, T]$ به صورت مربعی^۳ است. هدف اصلی کم کردن تابع هزینه برای بازیکنان است. تابع هزینه برای بازیکن شماره i (این مسئله شامل دو بازیکن است) به فرم رابطه (۲-۲) نوشته می‌شود.

$$J_i(u_1, u_2) = \int_0^T (x^T(t)Q_i x(t) + u_i^T(t)R_{ii}u_i(t) + u_j^T(t)R_{ij}u_j(t)) dt \quad (2-2)$$

در رابطه (۲-۲) Q_i ، R_{ii} و R_{ij} به ترتیب بیانگر اهمیت میزان اهمیت انحراف متغیرهای حالت مقادیر مطلوب برای بازیکن شماره i ، میزان تلاش کنترلی بازیگر شماره i و میزان تلاش کنترلی بازیگر شماره j هستند. در اینجا ماتریس‌های Q_i ، R_{ii} و H متقارن فرض شده‌اند و ماتریس R_{ii} به صورت مثبت معین ($R_{ii} > 0$) فرض شده است [۹].

در این حالت فرض شده است که تمامی بازیکنان در زمان $t \in [0, T]$ فقط اطلاعات شرایط اولیه و مدل سامانه را دارند. این فرض به این صورت تفسیر می‌شود که دو بازیکن همزمان حرکت خود را در انتخاب می‌کنند. در این حالت امکان هماهنگی بین دو بازیکن وجود ندارد. تعادل نش یک راه حل برای بازی دیفرانسیلی با شرایط اشاره شده ارائه می‌دهد.

قضیه ۱-۲ به مجموعه‌ای از حرکات قابل قبول (u_1^*, u_2^*) یک تعادل نش برای بازی می‌گویند اگر تمامی حرکات قابل قبول (u_1, u_2) از نامساوی (۳-۲) پیروی کنند.

$$J_1(u_1^*, u_2^*) \leq J_1(u_1, u_2^*) \text{ and } J_2(u_1^*, u_2^*) \leq J_2(u_1^*, u_2) \quad (3-2)$$

در اینجا قابل قبول بودن به معنی آن است که $u_i(\cdot)$ به یک مجموعه محدود حرکات تعلق دارد، این مجموعه‌ی حرکات که بستگی به اطلاعات بازیکنان از بازی دارد، مجموعه‌ای از راهبردهایی است که بازیکنان ترجیح می‌دهند برای کنترل سامانه انجام دهند و سامانه (۱-۲) باید یک جواب منحصر به فرد داشته باشد.

تعادل نش به گونه‌ای تعریف می‌شود که هیچ یک از بازیکنان انگیزه‌ی یک طرفه برای انحراف از بازی ندارند. قابل ذکر است که نمی‌توان انتظار داشت که یک تعادل نش منحصر به فرد وجود داشته باشد.

³Quadratic Cost Function

به هر حال به راحتی می‌توان تایید کرد که حرکات (u_1^*, u_2^*) یک تعادل نش برای بازی با تابع هزینه J_i , $(i = 1, 2)$ است.

۲-۲ کنترل‌کننده مبتنی بر بازی دیفرانسیلی

در بخش ۱-۲ به بررسی اجمالی بازی دیفرانسیلی پرداخته شد. در ادامه بخش ۲-۳ به معرفی کنترل‌کننده مربعی خطی مبتنی بر بازی دیفرانسیلی (LQDG) و در بخش ۲-۴ به معرفی کنترل‌کننده مربعی خطی انتگرالی مبتنی بر بازی دیفرانسیلی (LQIDG) پرداخته می‌شود.

۳-۲ کنترل‌کننده مربعی خطی مبتنی بر بازی دیفرانسیلی

برای یک سامانه خطی پیوسته با معادلات حالت:

$$\dot{x}(t) = Ax(t) + B_1 u_1(t) + B_2 u_2(t) \quad (۴-۲)$$

$$y(t) = Cx(t) + D_1 u_1(t) + D_2 u_2(t)$$

فرمان کنترلی بهینه LQDG بازیکن شماره i به صورت رابطه (۲-۵) محاسبه می‌شود.

$$u_i(t) = -R_{ii}^{-1} B_i^T K_i(t) x(t), \quad i = 1, 2 \quad (۵-۲)$$

که در رابطه (۲-۵)، ضریب ماتریس $x(t)$ بیانگر بهره بازخورد بهینه است. این بهره به گونه‌ای محاسبه می‌شود که تابع هزینه مربعی بازیکن شماره i با فرض بدترین حرکت سایر بازیکنان کمینه شود. تابع هزینه بازیکن شماره i در زیر آورده شده است.

$$J_i(u_1, u_2) = \int_0^T (x^T(t) Q_i x(t) + u_i^T(t) R_{ii} u_i(t) + u_j^T(t) R_{ij} u_j(t)) dt \quad (۶-۲)$$

در رابطه (۲-۵)، ماتریس $K_i(t)$ بیانگر پاسخ معادله کوپل ریکاتی^۴ زیر است [۷]:

$$\dot{K}_1(t) = -A^T K_1(t) - K_1(t) A - Q_1 + K_1(t) S_1(t) K_1(t) + K_1(t) S_2(t) K_2(t) \quad (۷-۲)$$

$$\dot{K}_2(t) = -A^T K_2(t) - K_2(t) A - Q_2 + K_2(t) S_2(t) K_2(t) + K_2(t) S_1(t) K_1(t)$$

⁴Coupled Riccati Differential Equations

برای سادگی از نمادسازی $S_i := B_i R_{ii}^{-1} B_i^T$ استفاده شده است.

۴-۲ کنترل کننده مربعی خطی انتگرالی مبتنی بر بازی دیفرانسیلی

در صورت وجود اغتشاش و یا خطای مدل سازی، عدم وجود انتگرال گیر در کنترل کننده LQDG میتواند باعث ایجاد خطای حالت ماندگار شود. به منظور حذف این خطا، کنترل کننده LQIDG بر پایه کنترل کننده LQDG تعمیم یافته است. در این کنترل کننده، انتگرال اختلاف بین خروجی سیستم و مقدار مطلوب به بردار حالت اضافه شده است. بنابراین، بردار حالت به صورت زیر نوشته می شود:

$$x_a = \begin{bmatrix} x_d - x \\ \int (y_d - y) \end{bmatrix} \quad (۸-۲)$$

در رابطه (۸-۲)، بردار حالت افزوده^۵، x_d بردار حالت مطلوب و y_d بردار خروجی مطلوب است. ماتریس C یک ماتریس همانی است در نظر گرفته شده است؛ بنابراین، بردار خروجی برابر با بردار حالت خواهد بود:

$$y = x \quad (۹-۲)$$

با تعریف بردار حالت افزوده، معادلات حالت به شکل زیر بازنویسی می شود:

$$\begin{aligned} \dot{x}_a(t) &= A_a x_a(t) + B_{a_{a_1}} u_{a_1}(t) + B_{a_{a_2}} u_{a_2}(t) \\ y(t) &= C_a x_a(t) + D_{a_{a_1}} u_{a_1}(t) + D_{a_{a_2}} u_{a_2}(t) \end{aligned} \quad (۱۰-۲)$$

که ماتریسهای A_a و B_a به صورت زیر تعریف می شوند:

$$A_a = \begin{bmatrix} A & 0 \\ C & 0 \end{bmatrix} \quad (۱۱-۲)$$

$$B_a = \begin{bmatrix} B \\ 0 \end{bmatrix} \quad (۱۲-۲)$$

^۵Augmented

با معرفی معادلات حالت جدید برای سامانه، سایر گام‌های طراحی کنترل‌کننده LQIDG مشابه کنترل‌کننده LQDG است. بنابراین، فرمان کنترلی بهینه LQIDG بازیکن شماره i به صورت رابطه (۱۳-۲) محاسبه می‌شود.

$$\mathbf{u}_i(t) = -\mathbf{R}_{ii}^{-1} \mathbf{B}_{a_i}^T \mathbf{K}_{a_i}(t) \mathbf{x}_a(t), \quad i = 1, 2 \quad (۱۳-۲)$$

که در رابطه (۱۳-۲)، ضریب ماتریس $\mathbf{x}_a(t)$ بیانگر بهره بازخورد بهینه است. این بهره به گونه‌ای محاسبه می‌شود که تابع هزینه مربعی بازیکن شماره i با فرض بدترین حرکت سایر بازیکنان کمینه شود. تابع هزینه بازیکن شماره i در زیر آورده شده است.

$$J_i(u_1, u_2) = \int_0^T (\mathbf{x}_a^T(t) \mathbf{Q}_i \mathbf{x}_a(t) + \mathbf{u}_i^T(t) \mathbf{R}_{ii} \mathbf{u}_i(t) + \mathbf{u}_j^T(t) \mathbf{R}_{ij} \mathbf{u}_j(t)) dt \quad (۱۴-۲)$$

در رابطه (۱۴-۲)، ماتریس $\mathbf{K}_i(t)$ بیانگر پاسخ معادله کوپل ریکاتی^۶ زیر است [۷]:

$$\begin{aligned} \dot{\mathbf{K}}_{a_1}(t) &= -\mathbf{A}^T \mathbf{K}_{a_1}(t) - \mathbf{K}_{a_1}(t) \mathbf{A} - \mathbf{Q}_{a_1} + \mathbf{K}_{a_1}(t) \mathbf{S}_{a_1}(t) \mathbf{K}_{a_1}(t) + \mathbf{K}_{a_1}(t) \mathbf{S}_{a_2}(t) \mathbf{K}_{a_2}(t) \\ \dot{\mathbf{K}}_{a_2}(t) &= -\mathbf{A}^T \mathbf{K}_{a_2}(t) - \mathbf{K}_{a_2}(t) \mathbf{A} - \mathbf{Q}_{a_2} + \mathbf{K}_{a_2}(t) \mathbf{S}_{a_2}(t) \mathbf{K}_{a_2}(t) + \mathbf{K}_{a_2}(t) \mathbf{S}_{a_1}(t) \mathbf{K}_{a_1}(t) \end{aligned} \quad (۱۵-۲)$$

برای سادگی از نمادسازی $\mathbf{S}_{a_i} := \mathbf{B}_{a_i} \mathbf{R}_{ii}^{-1} \mathbf{B}_{a_i}^T$ استفاده شده است.

^۶Coupled Riccati Differential Equations

فصل ۳

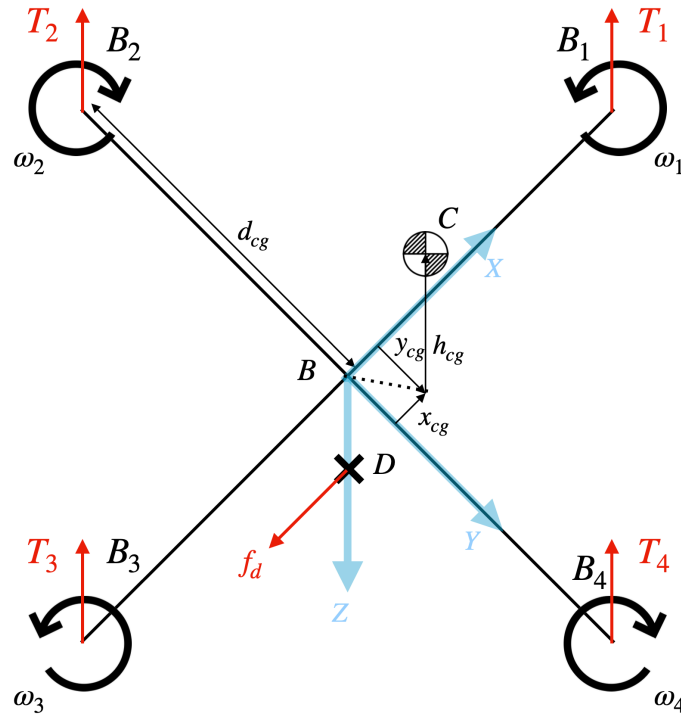
مدل سازی چهارپره

در این فصل به مدلسازی استند چهارپره آزمایشگاهی پرداخته شده است. به این منظور، ابتدا فرضیات مربوط به مدلسازی چهارپره بیان می شود. سپس معادلات حاکم بر حرکات دورانی چهارپره بیان می شود. در ادامه، به استخراج گشتاورهای خارجی اعمالی به استند شامل گشتاورهای آیرودینامیکی ناشی از پره، گشتاور نیروی تکیه گاه و گشتاورهای ناشی از اصطکاک بیرینگ ها پرداخته می شود. در گام بعد، معادله نهایی دینامیک دورانی استند استخراج می شود. سپس، فرم فضای حالت استند آزمایشگاهی استخراج می شود. لازم به توضیح است که فرم نهایی فضای حالت استند بدون در نظر گرفتن اصطکاک بیرینگ ها از منبع [۱۰] آورده شده است که در آن منبع، مدل استخراج شده با اعمال ورودی ها و شرایط اولیه مختلف اعتبارسنجی شده است.

۳-۱ فرضیات مدل سازی

شماتیک استند چهارپره در شکل ۳-۱ نشان داده شده است. به منظور استخراج معادلات حاکم بر سیستم، فرض می شود که چهارپره صلب و متقارن است. همچنین ماتریس گشتاور اینرسی چهارپره به صورت قطری در نظر گرفته می شود. مرکز جرم سازه چهارپره روی نقطه B و مرکز ثقل هر یک از پره ها به همراه قسمت دوار موتور روی نقاط B_1 تا B_4 است. مبدأ دستگاه مختصات بدنی روی محل تقاطع بازوهای چهارپره یعنی نقطه B در نظر گرفته شده است. از آنجایی که مرکز ثقل پره ها بالاتر از مرکز ثقل سازه چهارپره است، مرکز ثقل کلی چهارپره جایی بین مرکز ثقل موتورها و سازه، یعنی نقطه C می گیرد. همچنین قابل ذکر است که

نقطه‌ی D محل اتصال کلی استند چهارپره است. جهت مثبت محور X^B و Y^B دستگاه مختصات بدنی به ترتیب در راستای بازوی مربوط به موتور ۱ و ۴ فرض می‌شود. همچنین جهت مثبت محور Z^B با توجه به قانون دست راست حاصل می‌شود.



شکل ۳-۱: شماتیک استند چهارپره

۲-۳ معادله گشتاور

به منظور استخراج معادلات حاکم بر حرکت دورانی چهارپره، از قوانین نیوتن اوایلر استفاده می‌شود. معادله دیفرانسیلی اوایلر برای یک پرنده حول مرکز ثقل آن در دستگاه مختصات بدنی به صورت زیر بیان می‌شود:

$$[\dot{\omega}^{BI}]^B = ([J]^B)^{-1} \left(-[\Omega^{BI}]^B \times ([J]^B [\omega^{BI}]^B + [I_R]^B) + [m_b]^B \right) \quad (۱-۳)$$

در رابطه (۱-۳)، عبارت $[\omega^{BI}]^B$ بیانگر بردار مشتق نرخ‌های زاویه‌ای چهارپره در دستگاه مختصات بدنی است. همچنین ماتریس $[J]^B$ نشان‌دهنده گشتاورهای اینرسی چهارپره حول مرکز ثقل آن در دستگاه مختصات

بدنی است که به دلیل تقارن چهارپره به صورت زیر در نظر گرفته می شود:

$$[J]^B = \begin{bmatrix} J_{11} & 0 & 0 \\ 0 & J_{22} & 0 \\ 0 & 0 & J_{33} \end{bmatrix} \quad (۲-۳)$$

در رابطه (۲-۳)، پارامترهای J_{11} ، J_{22} و J_{33} به ترتیب بیانگر گشتاورهای اینرسی چهارپره حول محورهای X^B ، Y^B و Z^B دستگاه مختصات بدنی هستند. همچنین بردار $[I_R]^B$ در رابطه (۱-۳) بیانگر مجموع تکانه زاویه ای کلی پره ها در دستگاه مختصات بدنی است. از آنجا که، تکانه زاویه ای پره ها در راستای محور Z^B دستگاه مختصات بدنی است؛ در نتیجه $[I_R]^B$ به صورت زیر حاصل می شود:

$$[I_R]^B = \begin{bmatrix} 0 \\ 0 \\ l_R \end{bmatrix} \quad (۳-۳)$$

در رابطه (۳-۳)، l_R بیانگر تکانه زاویه ای کلی پره ها در راستای محور Z^B دستگاه مختصات بدنی است که به صورت زیر حاصل می شود:

$$l_R = J_R \omega_d \quad (۴-۳)$$

در رابطه (۴-۳)، پارامتر J_R بیانگر ممان اینرسی هر یک از پره ها است. همچنین ω_d نشان دهنده تفاضل نسبی سرعت های زاویه ای پره ها است که با توجه به شکل (۱-۳) به صورت زیر تعریف می شود:

$$\omega_d = -\omega_1 + \omega_2 - \omega_3 + \omega_4 \quad (۵-۳)$$

همچنین $[m_b]^B$ در رابطه (۱-۳) برآیند گشتاورهای خارجی اعمالی به چهارپره، شامل گشتاورهای ناشی از آیرودینامیک پره ها و گشتاورهای ناشی از نیروی تکیه گاه است که در ادامه به آن پرداخته می شود.

۱-۲-۳ گشتاورهای ناشی از آیرودینامیک پره ها

آیرودینامیک پره ها باعث ایجاد نیروی برآ و در نتیجه گشتاورهای رول و پیچ ناشی از اختلاف نیروی برآ می شود. با استفاده از تفاضل نیروی برآی پره ها دو گشتاور رول و پیچ ایجاد می شود. با توجه به تئوری مومنتوم، نیروی برآی هر پره (T_i) از رابطه زیر حاصل می شود [۱۲]:

$$T_i = b\omega_i^2 \quad (۶-۳)$$

در رابطه ۶-۳ و ω_i به ترتیب بیانگر فاکتور نیروی برآ و سرعت زاویه ای هر پره است؛ بنابراین مطابق شکل ۱-۳ گشتاور رول حول محور X^B دستگاه مختصات بدنی از رابطه زیر حاصل می شود.

$$m_X^B = d_{cg}(T_2 - T_4) = d_{cg}b(\omega_2^2 - \omega_4^2) \quad (۷-۳)$$

در رابطه ۷-۳ عبارت d_{cg} بیانگر فاصله مرکز هر پره از مرکز جرم چهارپره در راستای محور X^B دستگاه مختصات بدنی است. همچنین گشتاور پیچ حول محور Y^B دستگاه مختصات بدنی با توجه به شکل ۱-۳ از رابطه زیر حاصل می شود:

$$m_Y^B = d_{cg}(T_1 - T_3) = d_{cg}b(\omega_1^2 - \omega_3^2) \quad (۸-۳)$$

گشتاور یاو آیرودینامیکی از اختلاف گشتاور ناشی از پسای پرها ایجاد می شود؛ بنابراین، جهت این گشتاور همواره در جهت مخالف چرخش پرها است. بنابراین، گشتاور یاو حول محور Z^B دستگاه مختصات بدنی با توجه به شکل ۱-۳، مطابق رابطه زیر حاصل می شود:

$$m_Z^B = d(\omega_1^2 - \omega_2^2 + \omega_3^2 - \omega_4^2) \quad (۹-۳)$$

رابطه ۹-۳ عبارت d بیانگر فاکتور گشتاور پسای پرها است. در نتیجه با توجه به معادلات ۷-۳، ۸-۳ و ۹-۳ بردار گشتاورهای خارجی ناشی از آیرودینامیک پرها در دستگاه مختصات بدنی به صورت زیر حاصل می شود:

$$[m_A]^B = \begin{bmatrix} m_X^B \\ m_Y^B \\ m_Z^B \end{bmatrix} = \begin{bmatrix} d_{cg}b(\omega_2^2 - \omega_4^2) \\ d_{cg}b(\omega_1^2 - \omega_3^2) \\ d(\omega_1^2 - \omega_2^2 + \omega_3^2 - \omega_4^2) \end{bmatrix} \quad (۱۰-۳)$$

۲-۲-۳ گشتاور ناشی از نیروی تکیه گاه

همانطور که در شکل ۱-۳ مشاهده می شود، نیروی f_d که در نقطه ی D از طریق اتصال کلی به چهارپره وارد می شود، باعث ایجاد گشتاور حول مرکز ثقل چهارپره می شود. به منظور مدل سازی گشتاور ناشی از این نیرو حول نقطه C ، لازم است ابتدا نیروی f_d استخراج شود. از آنجایی که نقطه ی D منطبق بر مرکز ثقل چهارپره نیست؛ لذا معادله حرکت انتقالی برای نقطه اتصال D با استفاده از معادله انتقال یافته نیوتن (معادله گروبین) به صورت معادله زیر حاصل می شود [۱۱]:

$$m_{tot} [D^I v_D^I]^B = [\Sigma f]^B - m_{tot} \left([\Omega^{BI}]^B [\Omega^{BI}]^B [s_{cd}]^B + [D^I \Omega^{BI}]^B [s_{cd}]^B \right) \quad (۱۱-۳)$$

در رابطه (۱۱-۳)، m_{tot} مجموع جرم چهارپره و $[D^I v_D^I]^B$ مشتق دورانی سرعت نقطه D نسبت به قاب اینرسی در دستگاه مختصات بدنی است. همچنین $[\Sigma f]^B$ بیان کننده برآیند نیروهای وارده بر نقطه D و $[\Omega^{BI}]^B$ ماتریس پادمتقارن بردار سرعت زاوی های چهارپره نسبت به قاب اینرسی در دستگاه مختصات بدنی است. همچنین $[D^I \Omega^{BI}]^B$ نشان دهنده مشتق دورانی سرعت زاوی های چهارپره نسبت به قاب اینرسی و $[s_{cd}]^B$ بردار واصل از نقطه D به نقطه C است. با انتقال قاب بدنی به قاب اینرسی معادله (۱۱-۳) به صورت زیر حاصل می شود:

$$m_{tot} [D^B v_D^I]^B + m_{tot} [\Omega^{BI}]^B [v_D^I]^B = [\Sigma f]^B - m_{tot} \left(2 [\Omega^{BI}]^B [\Omega^{BI}]^B [s_{cd}]^B + [D^I \Omega^{BI}]^B [s_{cd}]^B \right) \quad (۱۲-۳)$$

همچنین به دلیل اینکه سرعت محل اتصال چهارپره (نقطه D) صفر است؛ دو عبارت سمت چپ معادله (۱۲-۳) هر دو صفر هستند. در نتیجه معادله به صورت زیر ساده می شود.

$$[\Sigma f]^B - m_{tot} \left(2 [\Omega^{BI}]^B [\Omega^{BI}]^B [s_{cd}]^B + \left[\frac{d\Omega^{BI}}{dt} \right]^B [s_{cd}]^B \right) = 0 \quad (۱۳-۳)$$

عبارت $[\Sigma f]^B$ بیانگر مجموع نیروهای وارد بر چهارپره است که به صورت معادله زیر بیان می شود:

$$[\Sigma f]^B = [f_D]^B + [f_T]^B + [f_G]^B \quad (۱۴-۳)$$

در رابطه (۱۴-۳)، بردار $[f_D]^B$ مقدار نیروی اعمال شده توسط اتصال کلی در نقطه D است. همچنین بردار $[f_T]^B$ بیانگر مجموع نیروی برای پره ها در دستگاه مختصات بدنی است که از رابطه زیر حاصل می شود:

$$[f_T]^B = \begin{bmatrix} 0 \\ 0 \\ T_1 + T_2 + T_3 + T_4 \end{bmatrix} \quad (۱۵-۳)$$

مقدار نیروی اعمال شده توسط اتصال کلی در نقطه D است. همچنین بردار $[f_G]^B$ بیانگر نیروی وزن چهارپره در دستگاه مختصات بدنی است که از رابطه زیر حاصل می شود:

$$[f_G]^B = [C]^{BL} [f_G]^L \quad (۱۶-۳)$$

در رابطه (۱۶-۳)، ماتریس $[C]^{BL}$ انتقال از دستگاه مختصات تراز محلی (L) به دستگاه مختصات بدنی است. با جایگذاری روابط (۱۴-۳)، (۱۵-۳) و (۱۶-۳) در (۱۳-۳) عبارت زیر برای نیروی تکیه گاهی

حاصل می شود.

$$[f_D]^B = -[f_G]^B - [f_T]^B + m_{tot} \left\{ 2 [\Omega^{BI}]^B [\Omega^{BI}]^B [s_{cd}]^B + \left[\frac{d\Omega^{BI}}{dt} \right]^B [s_{cd}]^B \right\} \quad (۱۷-۳)$$

سپس از حاصل ضرب نیروی تکیه گاه مدل شده در معادله (۱۷-۳) در بردار محل اثر آن، گشتاور ایجاد شده توسط نیروی اتصال کلی به صورت معادله زیر حاصل می شود:

$$[m_D]^B = [s_{DC}]^B \left(-[f_G]^B - [f_T]^B m_{tot} \left\{ 2 [\Omega^{BI}]^B [\Omega^{BI}]^B [s_{cd}]^B \right\} \right) \quad (۱۸-۳)$$

در رابطه (۱۸-۳) بردار $[s_{DC}]^B$ بیانگر فاصله ی نقطه ی D از مرکز ثقل چهارپره (h_{cg}) است که به صورت زیر بیان می شود:

$$[s_{DC}]^B = \begin{bmatrix} 0 \\ 0 \\ h_{cg} \end{bmatrix} \quad (۱۹-۳)$$

در نتیجه با جمع گشتاورهای ناشی از نیروهای آیرودینامیک پره ها از معادله (۱۰-۳) و گشتاور ناشی از نیروی تکیه گاه از معادله (۱۸-۳)، گشتاور خارجی کلی اعمالی به چهارپره به صورت معادله زیر حاصل می شود:

$$[m_B]^B = [m_A]^B + [m_D]^B \quad (۲۰-۳)$$

۳-۳ گشتاورهای ناشی از اصطکاک بیرینگ ها

هر یک از محورهای استند آزمایشگاهی به وسیله بیرینگ به یکدیگر متصل شده اند. گشتاور ناشی از اصطکاک بیرینگ ها در استند را می توان به صورت زیر مدل کرد [۱۳]:

$$[m_f]^B = \begin{bmatrix} P_1 \mu_s r_x \\ P_2 \mu_s r_y \\ P_3 \mu_s r_z \end{bmatrix} + \begin{bmatrix} P_1 \mu_k r_x \\ P_2 \mu_k r_y \\ P_3 \mu_k r_z \end{bmatrix} \quad (۲۱-۳)$$

در رابطه (۲۱-۳)، P نیروی عمودی وارد بر تکیه گاه هر یک از محورها، μ_s و μ_k به ترتیب ضریب اصطکاک ایستایی و دینامیکی بیرینگ ها و r شعاع هر یک از بیرینگ ها است.

۴-۳ گشتاورهای ناشی از جرم استند

هر یک از محورهای استند آزمایشگاهی به وسیله بیرینگ به یکدیگر متصل شده اند. گشتاور ناشی از اصطکاک بیرینگ ها در استند را می توان به صورت زیر مدل کرد [۱۳]:

$$[m_{cg}]^B = \begin{bmatrix} m_{tot} g y_{cg} \\ -m_{tot} g x_{cg} \\ 0 \end{bmatrix} \quad (22-3)$$

در رابطه ۲۱-۳، P نیروی عمودی وارد بر تکیه گاه هر یک از محورها، μ_s و μ_k به ترتیب ضریب اصطکاک ایستایی و دینامیکی بیرینگ ها و r شعاع هر یک از بیرینگ ها است.

۱-۴-۳ استخراج معادله نهایی دینامیک دورانی

با جایگذاری گشتاورهای خارجی چهارپره و تکانه زاویه ای کلی پرها در معادله دیفرانسیل اوایلر، شکل نهایی معادله دیفرانسیل استند چهارپره حاصل می شود. به این منظور، با جایگذاری مقدار گشتاورهای اعمالی به چهارپره از معادله (۲۰-۳) در معادله (۱-۳) رابطه مورد نیاز برای مدل سازی دینامیک دورانی استند به صورت معادله زیر حاصل می شود:

$$\begin{aligned} \left[\frac{d\omega^{BI}}{dt} \right]^B &= ([J]^B)^{-1} \left(-[\Omega^{BI}] \times ([J]^B [\omega^{BI}]^B + [I_R]^B) + \right. \\ &\quad [m_A]^B + [m_{cg}]^B + [s_{DC}]^B \left(-[G]^B - [T]^B + \right. \\ &\quad \left. \left. m_{tot} \left\{ 2 [\Omega^{BI}]^B [\Omega^{BI}]^B [s_{cd}]^B + \left[\frac{d\Omega^{BI}}{dt} \right]^B [s_{cd}]^B \right\} \right) \right) \end{aligned} \quad (23-3)$$

در رابطه (۲۳-۳)، عبارت $\left[\frac{d\Omega^{BI}}{dt} \right]^B$ بیانگر ماتریس پادمقارن بردار مشتق سرعت زاویه ای بدنی $\left(\left[\frac{d\omega^{BI}}{dt} \right]^B \right)$ است. جمله آخر در معادله فوق را می توان به صورت زیر بازنویسی کرد:

$$m_{tot} [s_{DC}]^R \left[\frac{d\Omega^{BI}}{dt} \right]^B [s_{CD}]^R = m_{tot} [s_{DC}]^R [s_{DC}]^R [\dot{\omega}^{BI}]^B \quad (24-3)$$

با جایگذاری معادله (۲۴-۳) در معادله (۲۳-۳) معادله زیر حاصل می شود:

$$\begin{aligned} \left[\frac{d\omega^{BI}}{dt} \right]^B \left(I - m_{tot} \left([J]^B \right)^{-1} [s_{DC}]^B [s_{DC}]^B \right) = \\ \left([J]^B \right)^{-1} \left(- [\Omega^{BI}] \times \left([J]^B [\omega^{BI}]^B + [I_R]^B \right) + \right. \\ \left. [m_A]^B + [m_{cg}]^B + [s_{DC}]^B \left(- [F_g]^B - [F_T]^B + \right. \right. \\ \left. \left. m_{tot} \left\{ 2 [\Omega^{BI}]^B [\Omega^{BI}]^B [s_{cd}]^B + \left[\frac{d\Omega^{BI}}{dt} \right]^B [s_{cd}]^B \right\} \right) \right) \end{aligned} \quad (25-3)$$

با ساده سازی رابطه (۲۵-۳)، بردار سرعت زاویه ای استند به صورت زیر حاصل می شود:

$$\begin{aligned} \left[\frac{d\omega^{BI}}{dt} \right]^B = a^{-1} b \\ a = I - m_{tot} \left([J]^B \right)^{-1} [s_{DC}]^B [s_{DC}]^B \\ b = \left([J]^B \right)^{-1} \left(- [\Omega^{BI}] \times \left([J]^B [\omega^{BI}]^B + [I_R]^B \right) + \right. \\ \left. [m_A]^B + [m_{cg}]^B + [s_{DC}]^B \left(- [F_g]^B - [F_T]^B + \right. \right. \\ \left. \left. m_{tot} \left\{ 2 [\Omega^{BI}]^B [\Omega^{BI}]^B [s_{cd}]^B + \left[\frac{d\Omega^{BI}}{dt} \right]^B [s_{cd}]^B \right\} \right) \right) \end{aligned} \quad (26-3)$$

با جایگذاری معادلات (۳-۳)، (۴-۳) و (۵-۳) معادله مربوط به تکانه کلی پره ها، معادله (۶-۳) مربوط به برای پره و معادله (۱۰-۳) در معادله (۲۶-۳)، مؤلفه های بردار مشتق سرعت زاویه ای چهارپره به صورت

زیر حاصل می شود:

$$\begin{aligned} \dot{p} = & \frac{h_{cg} g m_{dot} \cos(\theta) \sin(\phi) + (J_{22} - J_{33} + 2m_{tot} h_{ch}^2) q r}{m_{tot} h_{cg}^2 + J_{11}} \\ & + \frac{b d_{cg} (\omega_2^2 - \omega_4^2) + q J_R (\omega_1 - \omega_2 + \omega_3 - \omega_4) - \frac{p}{|p|} P_1 \mu r_x}{m_{tot} h_{cg}^2 + J_{11}} \end{aligned} \quad (۲۷-۳)$$

$$\begin{aligned} \dot{q} = & \frac{h_{cg} g m_{dot} \sin(\theta) + (J_{33} - J_{11} + 2m_{tot} h_{ch}^2) p r}{m_{tot} h_{cg}^2 + J_{11}} \\ & + \frac{b d_{cg} (\omega_1^2 - \omega_3^2) - p J_R (\omega_1 - \omega_2 + \omega_3 - \omega_4) - \frac{q}{|q|} P_2 \mu r_y}{m_{tot} h_{cg}^2 + J_{11}} \end{aligned} \quad (۲۸-۳)$$

$$\dot{r} = \frac{p q (J_{11} - J_{22}) + d (\omega_1^2 - \omega_2^2 + \omega_3^2 - \omega_4^2) - \frac{r}{|r|} P_3 \mu r_z}{J_{33}} \quad (۲۹-۳)$$

به منظور انتشار وضعیت دورانی چهارپره، از روش انتشار اویلر استفاده می شود. در این صورت [۱۱] :

$$\dot{\phi} = p + q \sin(\phi) \cos(\theta) + r \cos(\phi) \tan(\theta) \quad (۳۰-۳)$$

$$\dot{\theta} = q \cos(\phi) - r \sin(\phi) \quad (۳۱-۳)$$

$$\dot{\psi} = (q \sin(\phi)) + r \cos(\phi) \sec(\theta) \quad (۳۲-۳)$$

۳-۵ استخراج فرم فضای حالت

به منظور استخراج فرم فضای حالت، متغیرهای حالت استند سه درجه آزادی چهارپره به صورت زیر تعریف می شود:

$$\begin{bmatrix} x_1 \\ x_2 \\ x_3 \\ x_4 \\ x_5 \\ x_6 \end{bmatrix} = \begin{bmatrix} \phi \\ \theta \\ \psi \\ p \\ q \\ r \end{bmatrix} \quad (۳۳-۳)$$

همچنین، بردار ورودی به صورت زیر تعریف می شود.

$$\omega = [\omega_1 \ \omega_2 \ \omega_3 \ \omega_4]^T \quad (۳۴-۳)$$

معادلات ارائه شده به فرم زیر برای فضای حالت بازنویسی می شوند:

$$\dot{x} = f(x, \omega) \quad (۳۵-۳)$$

که $F(x)$ مطابق روابط (۲۷-۳) تا (۳۲-۳) به صورت زیر استخراج می شود.

$$f = \begin{bmatrix} x_4 + x_5 \sin(x_1) \tan(x_2) + x_6 \cos(x_1) \tan(x_2) \\ x_5 \cos(x_1) - x_6 \sin(x_1) \\ (x_5 \sin(x_1) + x_6 \cos(x_1)) \sec(x_2) \\ A_1 \cos(x_2) \sin(x_1) + A_2 x_5 x_6 + A_3 \sigma_1 + A_4 x_5 \sigma_4 - \frac{x_4}{|x_4|} A_5 + A_6 \cos(x_1) \\ B_1 \sin(x_2) + B_2 x_4 x_6 + B_3 \sigma_2 + B_4 x_4 \sigma_4 - \frac{x_5}{|x_5|} B_5 + B_6 \cos(x_2) \\ C_1 x_4 x_5 + C_2 \sigma_3 - \frac{x_6}{|x_6|} C_3 \end{bmatrix} \quad (۳۶-۳)$$

$$\sigma_1 = \omega_2^2 - \omega_4^2, \quad \sigma_2 = \omega_1^2 - \omega_3^2, \quad \sigma_3 = \omega_1^2 - \omega_2^2 + \omega_3^2 - \omega_4^2, \quad \sigma_4 = \omega_1 - \omega_2 + \omega_3 - \omega_4$$

ثابت های معادلات بالا به صورت زیر تعریف می شوند:

$$\begin{aligned} A_1 &= \frac{h_{cg} g m_{tot}}{m_{tot} h_{cg}^2 + J_{11}} & A_2 &= \frac{2m_{tot} h_{cg}^2 + J_{22} - J_{33}}{m_{tot} h_{cg}^2 + J_{11}} & A_3 &= \frac{b d_{cg}}{m_{tot} h_{cg}^2 + J_{11}} \\ A_4 &= \frac{J_R}{m_{tot} h_{cg}^2 + J_{11}} & A_5 &= \frac{m_1 g \mu r_x}{m_{tot} h_{cg}^2 + J_{11}} & A_6 &= \\ B_1 &= \frac{h_{cg} g m_{tot}}{m_{tot} h_{cg}^2 + J_{22}} & B_2 &= \frac{-2m_{tot} h_{cg}^2 - J_{11} + J_{33}}{m_{tot} h_{cg}^2 + J_{22}} & B_3 &= \frac{b d_{cg}}{m_{tot} h_{cg}^2 + J_{22}} \\ B_4 &= \frac{-J_R}{m_{tot} h_{cg}^2 + J_{22}} & B_5 &= \frac{m_2 g \mu r_y}{m_{tot} h_{cg}^2 + J_{22}} & B_6 &= \end{aligned}$$

$$C_1 = \frac{J_{11} - J_{22}}{J_{33}} \quad C_2 = \frac{d}{J_{33}} \quad C_3 = \frac{m_3 g \mu r_z}{J_{33}}$$

به منظور شبیه سازی، پارامترهای استند آزمایشگاه به صورت جدول ۳-۱ در نظر گرفته شده است.

جدول ۳-۱: پارامترهای شبیه سازی استند چهارپره [۱۴]

پارامتر	واحد	مقدار پارامتر استند چهارپره
J_{11}	$kg.m^2$	0.02839
J_{22}	$kg.m^2$	0.03066
J_{33}	$kg.m^2$	0.0439
J_R	$kg.m^2$	4.4398×10^{-5}
m_{tot}	kg	1.074
m_1	kg	1.272
m_2	kg	1.074
m_3	kg	1.693
d_{cg}	m	0.2
h_{cg}	m	0.02
r_x	m	0.01
r_y	m	0.01
r_z	m	0.025
b	1	3.13×10^{-5}
d	1	3.2×10^{-6}
μ_s	1	0.003
μ_k	1	0.002
g	m/s^2	9.81

۳-۶ خطی سازی

در این قسمت، با استفاده از فرم فضای حالت استخراج شده در بخش ۳-۵، خطی سازی انجام شده است. در قسمت ۳-۶-۱ ابتدا صورت کلی فرم فضای حالت چهارپره محاسبه شده است. سپس، در بخش ۳-۶-۲ فرم فضای حالت برای هر کانال به صورت جداگانه بیان شده است.

۳-۶-۱ فرم خطی فضای حالت چهارپره

در این قسمت با توجه به معادلات فضای حالت بدست آمده، چهارپره حول نقطه کار خطی سازی می شود. به این منظور، نقطه کار به صورت زیر در نظر گرفته شده است.

$$\mathbf{x}^* = \begin{bmatrix} 0 & 0 & 0 & 0 & 0 & 0 \end{bmatrix}^T \quad (37-3)$$

$$\boldsymbol{\omega}^* = \begin{bmatrix} 2000 & 2000 & 2000 & 2000 \end{bmatrix}^T \text{ RPM} \quad (38-3)$$

که \mathbf{x}^* بردار حالت تعادلی و $\boldsymbol{\omega}^*$ بردار ورودی حالت تعادلی است. برای خطی سازی از بسط تیلور استفاده شده است.

$$\delta \dot{\mathbf{x}} = \mathbf{A} \delta \mathbf{x} + \mathbf{B} \delta \boldsymbol{\omega} \quad (39-3)$$

که:

$$\mathbf{A} = \left. \frac{\partial \mathbf{f}}{\partial \mathbf{x}} \right|_{\mathbf{x}^*} \quad (40-3)$$

$$\mathbf{B} = \left. \frac{\partial \mathbf{f}}{\partial \boldsymbol{\omega}} \right|_{\boldsymbol{\omega}^*} \quad (41-3)$$

ماتریس های \mathbf{A} و \mathbf{B} مطابق روابط (۴۲-۳) تا (۴۹-۳) محاسبه می شوند.

$$\mathbf{A} = \begin{bmatrix} \frac{\partial \mathbf{f}}{\partial x_1} & \frac{\partial \mathbf{f}}{\partial x_2} & \frac{\partial \mathbf{f}}{\partial x_3} & \frac{\partial \mathbf{f}}{\partial x_4} & \frac{\partial \mathbf{f}}{\partial x_5} & \frac{\partial \mathbf{f}}{\partial x_6} \end{bmatrix} \quad (42-3)$$

$$\frac{\partial \mathbf{f}}{\partial x_1} = \begin{bmatrix} x_5 \cos(x_1) \tan(x_2) - x_6 \sin(x_1) \tan(x_2) \\ -x_6 \cos(x_1) - x_5 \sin(x_1) \\ \frac{x_5 \cos(x_1) - x_6 \sin(x_1)}{\cos(x_2)} \\ A_1 \cos(x_1) \cos(x_2) \\ 0 \\ 0 \end{bmatrix} \quad (43-3)$$

$$\frac{\partial \mathbf{f}}{\partial x_2} = \begin{bmatrix} \frac{x_6 \cos(x_1)}{\cos(x_2)^2} + \frac{x_5 \sin(x_1)}{\cos(x_2)^2} \\ 0 \\ \frac{\tan(x_2) (x_6 \cos(x_1) + x_5 \sin(x_1))}{\cos(x_2)} \\ -A_2 \sin(x_1) \sin(x_2) \\ B_1 \cos(x_2) \\ 0 \end{bmatrix} \quad (۴۴-۳)$$

$$\frac{\partial \mathbf{f}}{\partial x_3} = \begin{bmatrix} 0 \\ 0 \\ 0 \\ 0 \\ 0 \\ 0 \end{bmatrix} \quad (۴۵-۳)$$

$$\frac{\partial \mathbf{f}}{\partial x_4} = \begin{bmatrix} 1 \\ 0 \\ 0 \\ 0 \\ B_2 x_6 + B_4 (\omega_1 - \omega_2 + \omega_3 - \omega_4) \\ C_1 x_5 \end{bmatrix} \quad (۴۶-۳)$$

$$\frac{\partial \mathbf{f}}{\partial x_5} = \begin{bmatrix} \sin(x_1) \tan(x_2) \\ \cos(x_1) \\ \frac{\sin(x_1)}{\cos(x_2)} \\ A_2 x_6 + A_4 (\omega_1 - \omega_2 + \omega_3 - \omega_4) \\ 0 \\ C_1 x_4 \end{bmatrix} \quad (۴۷-۳)$$

$$\frac{\partial f}{\partial x_6} = \begin{bmatrix} \cos(x_1) \tan(x_2) \\ -\sin(x_1) \\ \frac{\cos(x_1)}{\cos(x_2)} \\ 0 \\ B_2 x_4 \\ 0 \end{bmatrix} \quad (48-3)$$

$$B = \begin{bmatrix} 0 & 0 & 0 & 0 \\ 0 & 0 & 0 & 0 \\ 0 & 0 & 0 & 0 \\ A_4 x_5 & 2 A_3 \omega_2 - A_4 x_5 & A_4 x_5 & -2 A_3 \omega_4 - A_4 x_5 \\ 2 B_3 \omega_1 + B_4 x_4 & -B_4 x_4 & B_4 x_4 - 2 B_3 \omega_3 & -B_4 x_4 \\ 2 C_2 \omega_1 & -2 C_2 \omega_2 & 2 C_2 \omega_3 & -2 C_2 \omega_4 \end{bmatrix} \quad (49-3)$$

۳-۶-۲ فرم خطی فضای حالت کانال های چهارپره

در این قسمت، با توجه به فضای حالت بدست آمده در بخش ۳-۵، چهارپره حول نقطه کار خطی سازی می شود. برای ساده سازی، ورودی مسئله را از سرعت دورانی به نیروهای تاثیرگذار در مودهای رول، پیچ و یاو تغییر داده شده است. این کار باعث می شود که مسئله از چند ورودی و چند خروجی به سه مسئله یک ورودی و یک خروجی تبدیل شود. نیروها به فرم رابطه (۳-۵۰) تعریف می شوند.

$$u_1 = \omega_2^2 - \omega_4^2, \quad u_2 = \omega_1^2 - \omega_3^2, \quad u_3 = \omega_1^2 - \omega_2^2 + \omega_3^2 - \omega_4^2 \quad (50-3)$$

با توجه به اینکه سه نیرو در نظر گرفته شده و مسئله نیاز به چهار خروجی (سرعت دورانی موتورها) دارد یک نیروی دیگر نیز در نظر گرفته می شود که به فرم رابطه (۳-۵۱) است و مقدار آن به صورت ثابت و برابر با سرعت دورانی تمام پره ها در دور نامی یعنی 2000 RPM¹ در نظر گرفته شده است.

$$u_4 = \omega_1^2 + \omega_2^2 + \omega_3^2 + \omega_4^2 \quad (51-3)$$

¹Revolutions Per Minute

در ادامه روابط (۳-۵۰) و (۳-۵۱) را در فضای حالت سیستم جایگزین می‌کنیم و برای سادگی قسمت‌های $(\omega_1 - \omega_2 + \omega_3 - \omega_4)$ از معادلات حذف می‌کنیم.

فضای حالت جدید:

$$\mathbf{f} = \begin{bmatrix} x_4 + x_5 \sin(x_1) \tan(x_2) + x_6 \cos(x_1) \tan(x_2) \\ x_5 \cos(x_1) - x_6 \sin(x_1) \\ (x_5 \sin(x_1) + x_6 \cos(x_1)) \sec(x_2) \\ A_1 \cos(x_2) \sin(x_1) + A_2 x_5 x_6 + A_3 u_1 \\ B_1 \sin(x_2) + B_2 x_4 x_6 + B_3 u_2 \\ C_1 x_4 x_5 + C_2 u_3 \end{bmatrix} \quad (۳-۵۲)$$

بردار ورودی جدید به صورت زیر تعریف می‌شود.

$$\mathbf{u} = \begin{bmatrix} u_1 & u_2 & u_3 & u_4 \end{bmatrix}^T \quad (۳-۵۳)$$

برای خطی سازی از بسط تیلور استفاده شده است.

$$\delta \dot{\mathbf{x}} = \mathbf{A} \delta \mathbf{x} + \mathbf{B} \delta \mathbf{u} \quad (۳-۵۴)$$

$$\mathbf{x}^* = \begin{bmatrix} 0 & 0 & 0 & 0 & 0 & 0 \end{bmatrix}^T \quad (۳-۵۵)$$

$$\mathbf{u}^* = \begin{bmatrix} 0 & 0 & 0 & 4 \times 2000^2 \end{bmatrix}^T \quad (۳-۵۶)$$

$$\mathbf{A} = \left. \frac{\partial \mathbf{f}}{\partial \mathbf{x}} \right|_{\mathbf{x}^*} \quad (۳-۵۷)$$

$$\mathbf{B} = \left. \frac{\partial \mathbf{f}}{\partial \mathbf{u}} \right|_{\mathbf{u}^*} \quad (۳-۵۸)$$

روابط بالا به فرم چند سیستم یک ورودی و چند خروجی نوشته شده است. آن را به یک ورودی و یک خروجی تبدیل می‌کنیم.

مود رول

$$\mathbf{A}_{roll} = \begin{bmatrix} \frac{\partial f_1}{\partial x_1} & \frac{\partial f_1}{\partial x_4} \\ \frac{\partial f_4}{\partial x_1} & \frac{\partial f_4}{\partial x_4} \end{bmatrix} = \begin{bmatrix} 0 & 1 \\ A_1 \cos(x_1) & 0 \end{bmatrix} \quad (۵۹-۳)$$

$$\mathbf{B}_{roll} = \begin{bmatrix} \frac{\partial f_1}{\partial u_1} \\ \frac{\partial f_4}{\partial u_1} \end{bmatrix} = \begin{bmatrix} 0 \\ A_3 \end{bmatrix} \quad (۶۰-۳)$$

مود پیچ

$$\mathbf{A}_{pitch} = \begin{bmatrix} \frac{\partial f_2}{\partial x_2} & \frac{\partial f_2}{\partial x_5} \\ \frac{\partial f_5}{\partial x_2} & \frac{\partial f_5}{\partial x_5} \end{bmatrix} = \begin{bmatrix} 0 & 1 \\ B_1 \cos(x_1) & 0 \end{bmatrix} \quad (۶۱-۳)$$

$$\mathbf{B}_{pitch} = \begin{bmatrix} \frac{\partial f_2}{\partial u_2} \\ \frac{\partial f_5}{\partial u_2} \end{bmatrix} = \begin{bmatrix} 0 \\ B_3 \end{bmatrix} \quad (۶۲-۳)$$

مود یاو

$$\mathbf{A}_{yaw} = \begin{bmatrix} \frac{\partial f_3}{\partial x_3} & \frac{\partial f_3}{\partial x_6} \\ \frac{\partial f_6}{\partial x_3} & \frac{\partial f_6}{\partial x_6} \end{bmatrix} = \begin{bmatrix} 0 & 1 \\ 0 & 0 \end{bmatrix} \quad (۶۳-۳)$$

$$\mathbf{B}_{yaw} = \begin{bmatrix} \frac{\partial f_3}{\partial u_3} \\ \frac{\partial f_6}{\partial u_3} \end{bmatrix} = \begin{bmatrix} 0 \\ C_2 \end{bmatrix} \quad (۶۴-۳)$$

استخراج سرعت دورانی پره ها از نیروها

چهار معادله و چهار مجهول به صورت زیر است.

$$\begin{aligned} u_1 &= \omega_2^2 - \omega_4^2 \\ u_2 &= \omega_1^2 - \omega_3^2 \\ u_3 &= \omega_1^2 - \omega_2^2 + \omega_3^2 - \omega_4^2 \\ u_4 &= \omega_1^2 + \omega_2^2 + \omega_3^2 + \omega_4^2 \end{aligned} \quad (۶۵-۳)$$

جواب معادلات (۶۵-۳) به صورت رابطه (۶۶-۳) بدست می آید.

$$\begin{aligned} \omega_1 &= \sqrt{\frac{u_4 + u_3 + 2u_2}{4}} \\ \omega_2 &= \sqrt{\frac{u_4 - u_3 + 2u_1}{4}} \\ \omega_3 &= \sqrt{\frac{u_4 + u_3 + 2u_2}{4}} \\ \omega_4 &= \sqrt{\frac{u_4 - u_3 - 2u_1}{4}} \end{aligned} \quad (۶۶-۳)$$

مراجع

- [1] L. Sprekelmeyer. *These We Honor: The International Aerospace Hall of Fame*. 2006.
- [2] M. J. Hirschberg. A perspective on the first century of vertical flight. *SAE Transactions*, 108:1113–1136, 1999.
- [3] T. Lee, M. Leok, and N. H. McClamroch. Geometric tracking control of a quadrotor uav on $se(3)$. In *49th IEEE Conference on Decision and Control (CDC)*, pages 5420–5425, 2010.
- [4] <http://gcrc.sharif.edu>. 3dof quadcopter, 2021. [Online; accessed November 2, 2021], Available at <https://cutt.ly/yYMvhYv>.
- [5] wired. the physics of drones, 2021. [Online; accessed June 8, 2021], Available at <https://www.wired.com/2017/05/the-physics-of-drones/>.
- [6] nobelprize.org. Jean tirole, 2021. [Online; accessed October 17, 2021], Available at <https://www.nobelprize.org/prizes/economic-sciences/2014/tirole/facts/>.
- [7] B. Djehiche, A. Tcheukam, and H. Tembine. Mean-field-type games in engineering. *AIMS Electronics and Electrical Engineering*, 1(1):18–73, 2017.
- [8] W. L. Brogan. *Modern control theory*. 1974.
- [9] J. Engwerda. Linear quadratic differential games: An overview. *Advances in Dynamic Games and their Applications*, 10:37–71, 03 2009.
- [10] P. Abeshtan. Attitude control of a 3dof quadrotor stand using intelligent back-stepping approach. *MSc Thesis (PhD Thesis)*, 2016.

-
- [11] P. Zipfel. *Modeling and Simulation of Aerospace Vehicle Dynamics*. AIAA education series. American Institute of Aeronautics and Astronautics, 2000.
 - [12] A. Sharifi. Real-time design and implementation of a quadcopter automatic landing algorithm taking into account the ground effect. *MSc Thesis (PhD Thesis)*, 2010.
 - [13] M. A. A. Bishe. Attitude control of a 3dof quadrotor stand using a heuristic nonlinear controller. January 2018.
 - [14] E. Norian. Design of status control loops of a laboratory quadcopter mechanism and its pulverizer built-in using the automatic tool code generation. *MSc Thesis (PhD Thesis)*, 2014.
 - [15] Model-based design, 2021. [Online; accessed December 16, 2021], Available at <https://www.pngegg.com/en/png-xdlhx>.
 - [16] A. Karimi, H. Nobahari, and P. Siarry. Continuous ant colony system and tabu search algorithms hybridized for global minimization of continuous multi-minima functions. *Computational Optimization and Applications*, 45(3):639–661, Apr 2010.



Sharif University of Technology
Department of Aerospace Engineering

Bachelor Thesis

LQDG Controller for 3DOF Quadcopter Stand

By:

Ali BaniAsad

Supervisor:

Dr. Nobahari

August 2021